

Asociación y composición florística de la familia Sapotaceae en la parcela permanente de 50h, Isla Barro Colorado

Merali Rosario *Afiliación, normalmente algo tal que “Estudiante, Universidad Autónoma de Santo Domingo (UASD)”*

Resumen del manuscrito

Keywords: palabra clave 1, palabra clave 2

1 Introducción

La diversidad y estructura de los bosques miden los recursos y la abundancia en un área geográfica, por ejemplo, los bosques de la familia Sapotaceae son importantes para proporcionar alimento a las especies de vida silvestre (Martínez-Sovero et al., 2021). La familia Sapotaceae está ampliamente distribuida en las zonas tropicales (Smedmark, n.d.). Produce madera de alta calidad, frutas tropicales y algunas especies producen látex, siendo una familia de plantas de importancia ecológica y económica (Martínez-Sovero, Iglesias-Osores, & Villena-Velásquez, 2020).

La Isla Barro Colorado es una reserva natural ubicada en el lago Gatún del Canal de Panamá. Debido a su capacidad de investigación, es una de las regiones tropicales más conocidas en materia de biología y ecología tropical (“Isla Barro Colorado y biología tropical,” n.d.). La isla exhibe características importantes, tres de las cuales son la estabilidad ambiental, su ubicación geográfica (en un área de importancia internacional) y la capacidad para investigar grupos específicos de organismos (Rodríguez-Flores & Barrios, 2020). Sin embargo, no se han hecho estudios completos de la familia Sapotaceae, donde se estudie los diferentes análisis de ecología numérica.

El objetivo de este trabajo es determinar la asociación, composición florística y distribución de la familia Sapotaceae en la parcela permanente de 50h de la isla Barro Colorado. Además, analizar la organización de las especies en los cuadros de 1 hectárea e identificar si existe algún patrón con alguna variable ambiental, así como también, explicar si hay especies indicadoras o con preferencia por determinadas condiciones ambientales. Por otra parte, evaluar si la familia Sapotaceae está suficientemente representada según los análisis de estimación de riqueza, determinar cuáles son las variables ambientales que presentan asociación con la diversidad alfa y mostrar cuáles son las especies que contribuyen a la diversidad beta. Por último, pero no menos importante, examinar en un espacio bidimensional las tendencias de ordenación de las especies y determinar si las especies presentan patrón aglomerado.

2 Metodología

2.1 Área de Estudio

La isla de Barro Colorado es una colina de 1,500 hectáreas ubicada a 137 msnm en el lago Gatún. La parte superior de la isla es ancha y plana, y se asienta sobre un lecho de roca de basalto, de la cual irradian colinas empinadas y valles tallados en rocas sedimentarias que contienen gran

cantidad de restos volcánicos. El suelo es arcilloso y la profundidad varía de 50 cm a un metro. El clima es típico de las áreas tropicales (Pérez et al., 2005; Windsor et al., n.d.). Su vegetación está formada por bosques semidecíduos de tierras bajas, y se han registrado más de 1,300 especies de plantas vasculares (*Flora de la isla barro colorado*, n.d.).

La parcela permanente de árboles de 50 hectáreas se estableció en 1980 en el bosque húmedo tropical. El sitio es un rectángulo de 1,000 m de largo por 500 m de ancho, ubicado en la meseta central de la isla. Está dividido en 1,250 cuadrantes de 20x20 m, en el cual se han contabilizado todos los árboles con más de 10 mm de diámetro a la altura del pecho cada cinco años desde 1985 (R. A. y H. Condit Richard y Chisholm, n.d.; R. y L. Condit Richard y P 'e rez, n.d.; Pérez et al., 2005) (ver figura 1).

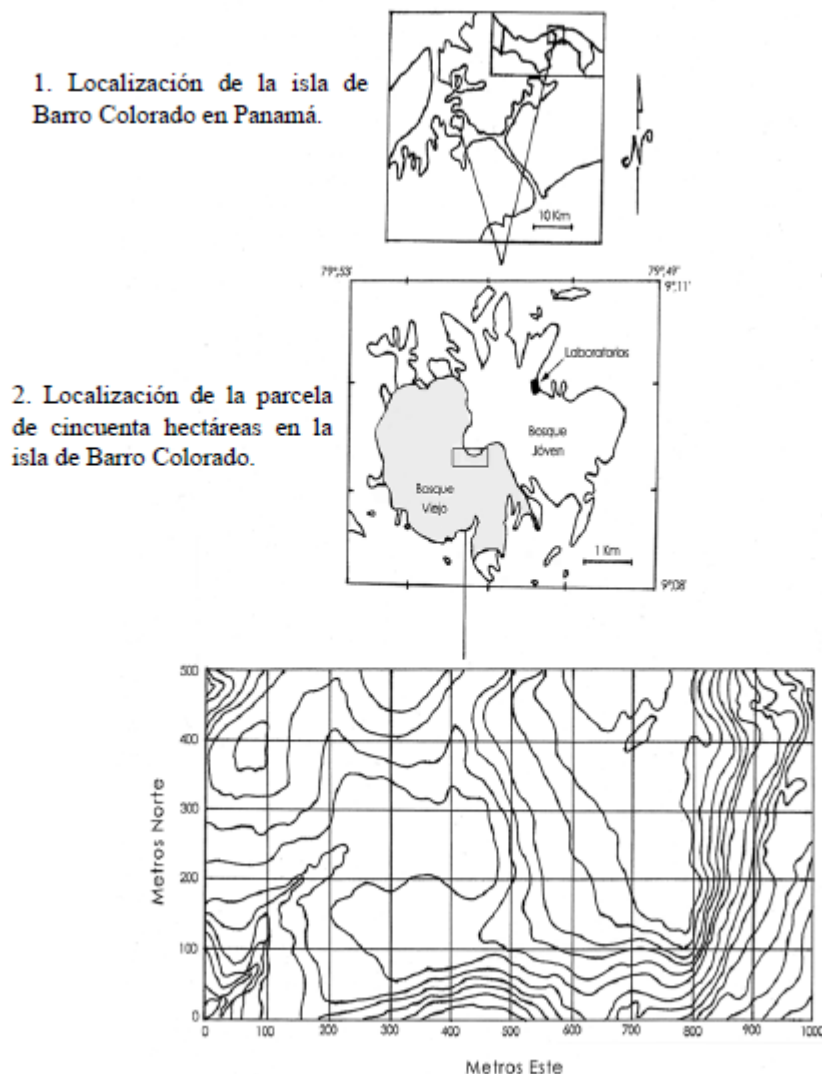


Figure 1: Mapa topográfico de la parcela de cincuenta hectáreas

2.2 Maeriales y Metodos

Los datos de cada uno de los cuadrantes de una hectárea que componen BCI, fueron procesados en R (R Core Team, 2020), teniendo en cuenta la matriz ambiental y la matriz de comunidad, lo cuales contienen datos de las variables ambientales, tales como condiciones edaficas, tipo de habitat, topografia del lugar, clasificacion etaria del bosque, y datos demograficos y geofrenciacion espacial de todos los individuos censados. Se adaptaron scripts reproducibles recuperados de Batlle (2020), utilizando la colección de paquetes multifuncionales vegan (Oksanen et al., 2019), Tidyverse (Wickham, 2017), BiodiversityR (R. Kindt & Coe, 2005) y indicpecies (De Caceres & Legendre, 2009).

Para conocer las características de los datos almacenados de la matriz de comunidad y ambiental, se realizó un análisis exploratorio que incluyó visualización de gráficos, tablas, mapas de los cuadrantes de una hectárea y tablas de correlación lineal entre las dos variables de la matriz, lo que permitió una vista común y ayudó a determinar procedimientos más detallados a continuación.

2.3 Medición de asociación (ma)

Para realizar las pruebas de medicion de asociacion, se calculó la distancia euclidiana entre los cuadrados considerados objetos. Para ello, se requirió una transformación de la matriz de comunidad mediante el método Hellinger, que incluye elevar al cuadrado la abundancia relativa y_{ij} (cociente resultante de cada valor de abundancia entre la suma de los sitios), como muestra la formula 2. Donde j denota cada tipo o columna de la matriz, i es la fila o cuadrante e $i+$ representa la suma de filas de la matriz de la i -ésima fila (Legendre & Gallagher, 2001). Además, se evaluó la distancia euclidiana entre los cuadrantes en términos de ocurrencia de especies. Se utilizó el índice de disimilitud de Jaccard de la matriz normalizada para convertir el valor de abundancia en un valor binario (Brocard, Gillet, & Legendre, 2018). del mismo modo, se empleó la métrica de Jaccard para aplicar la transposición de la matriz de la comunidad y convertir a datos Presencia / ausencia para medir el grado de asociación entre especies.

$$y' = \sqrt{\frac{y_{ij}}{y_{i+}}}$$

Figure 2: Formula. Transformación de la matriz de comunidad mediante el método Hellinger

Para poder comparar la relación entre especies en función de su abundancia, se utilizó estandarización ji-cuadrado de la matriz de comunidad transpuesta (Legendre & Gallagher, 2001). Se examinó la ocurrencia entre especies y su distribución en BCI por el coeficiente de orrelación entre rangos de Spearman para medir el grado de correlación entre las variables riqueza numérica de especies y la abundancia con las variables ambientales geomorfológicas, y la composición química del suelo(Brocard et al., 2018).

3 Resultados

En toda la parcela, se registró un total de 2029 pertenecientes a 5 especies. La riqueza por cuadro fue de 4 especies y la mediana de la abundancia por cuadro fue de 39 individuos. La especie más abundante fue *Pouteria reticulata*, con 1084 individuos, y la menos abundante fue

Pouteria fossicola con 3 individuos. La tabla 1 y la figura 3 resume estos resultados.

Table 1: Abundancia por especie de la familia Sapotaceae

Latin	n
Pouteria reticulata	1084
Chrysophyllum argenteum	711
Chrysophyllum cainito	171
Pouteria stipitata	60
Pouteria fossicola	3

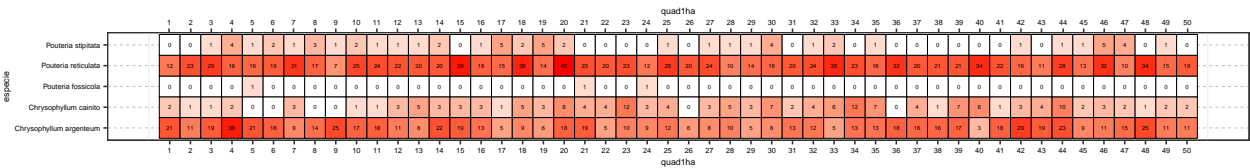


Figure 3: Abundancia por especie por quadrat

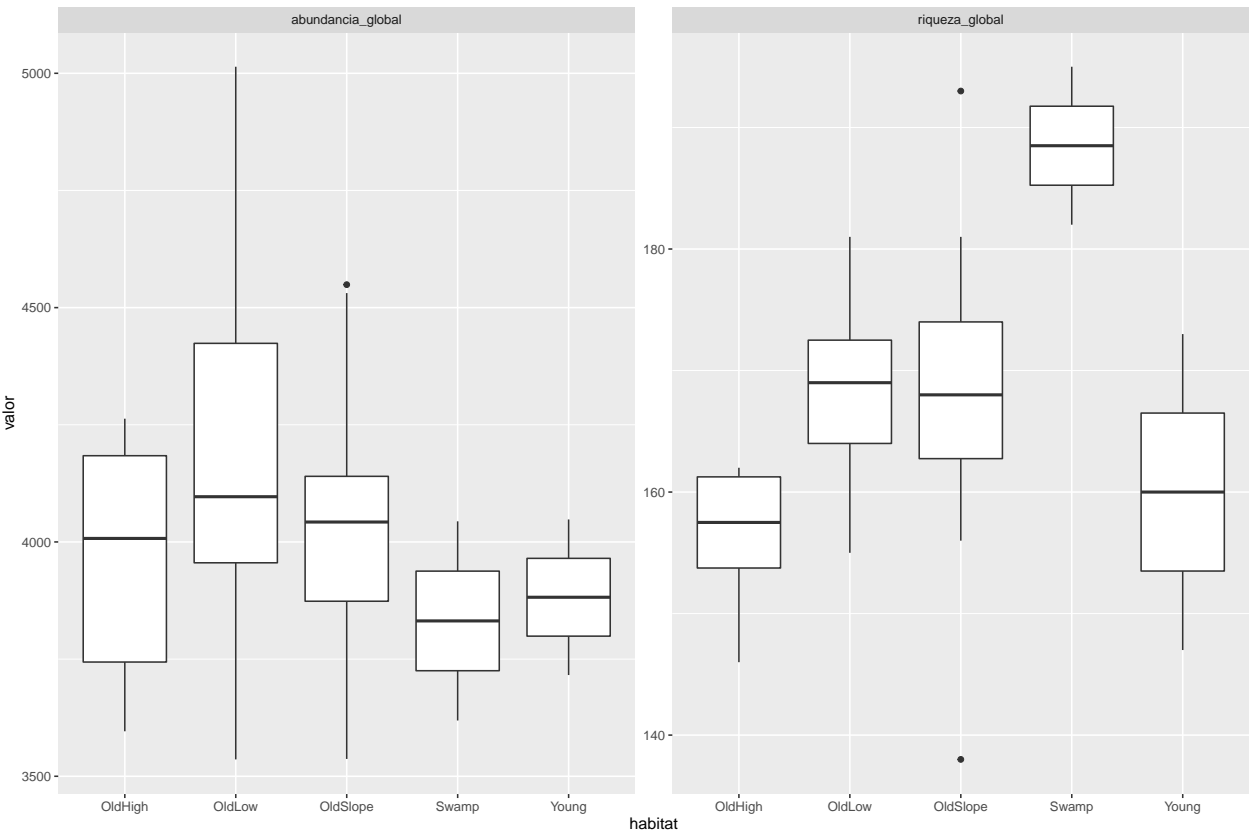


Figure 4: Diagrama de cajas de la abundancia y riqueza segun habitats

la distribución de la riqueza numérica de especies de la familia Sapotaceae sigue un patrón homogéneo, lo cual los agregados de riqueza máxima están distribuidos en casi todo el área. (ver Figura 5)

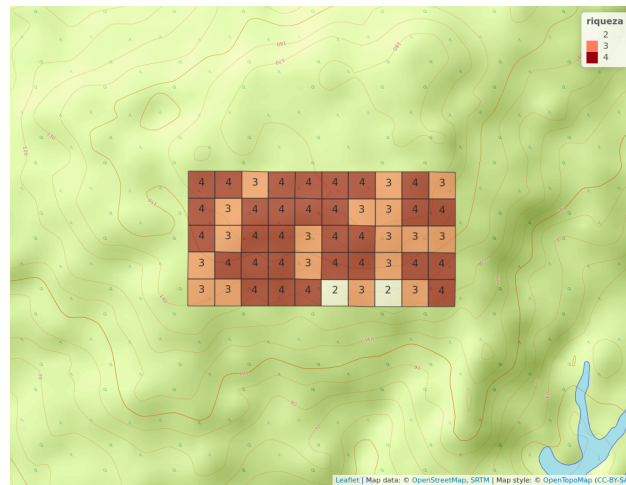


Figure 5: Distribución de la riqueza de la familia Sapotaceae

Las variables ambientales pH y pendiente media presentaron asociación con la familia de plantas..., lo cual supone... (ver figuras 6 y 7).

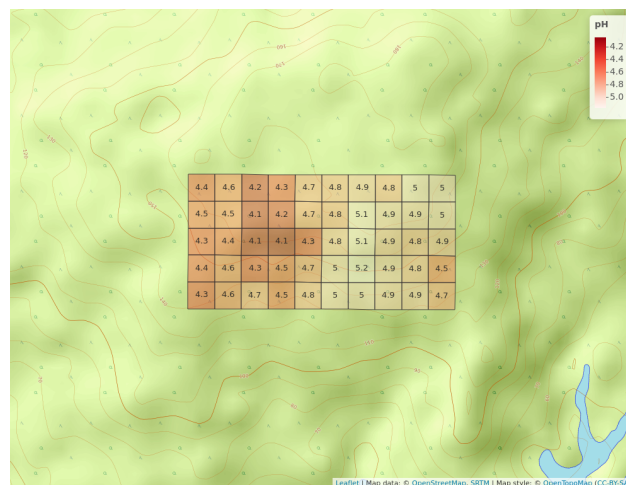


Figure 6: Distribución del pH

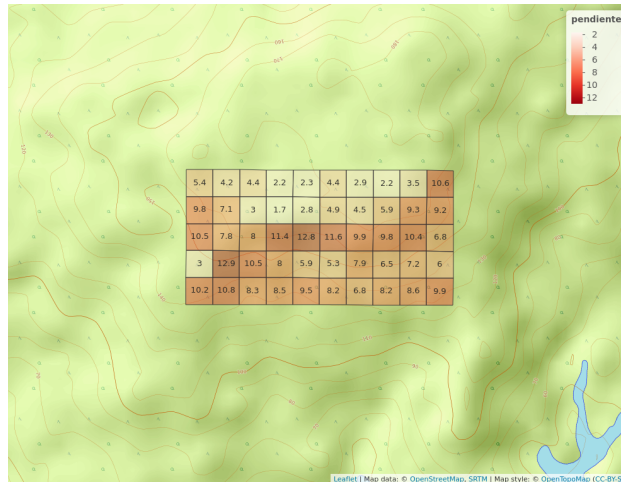


Figure 7: Distribucion de las pendientes(en grados)

la abundancia de la familia sapotaceae solo presenta correlacion con la abundancia global, mientras que la riqueza tiene correlacion con la presencia de cobre y nitrogeno en el suelo, lo que sugiere... (ver figura 8).



Figure 8: correlacion de las variables del suelo

las variables ambientales numericas y nominales presentan un patron (ver figuras 9 y 10).

Cuadros de 1 Ha de BCI. Variables ambientales numéricas escaladas de 0 a 1

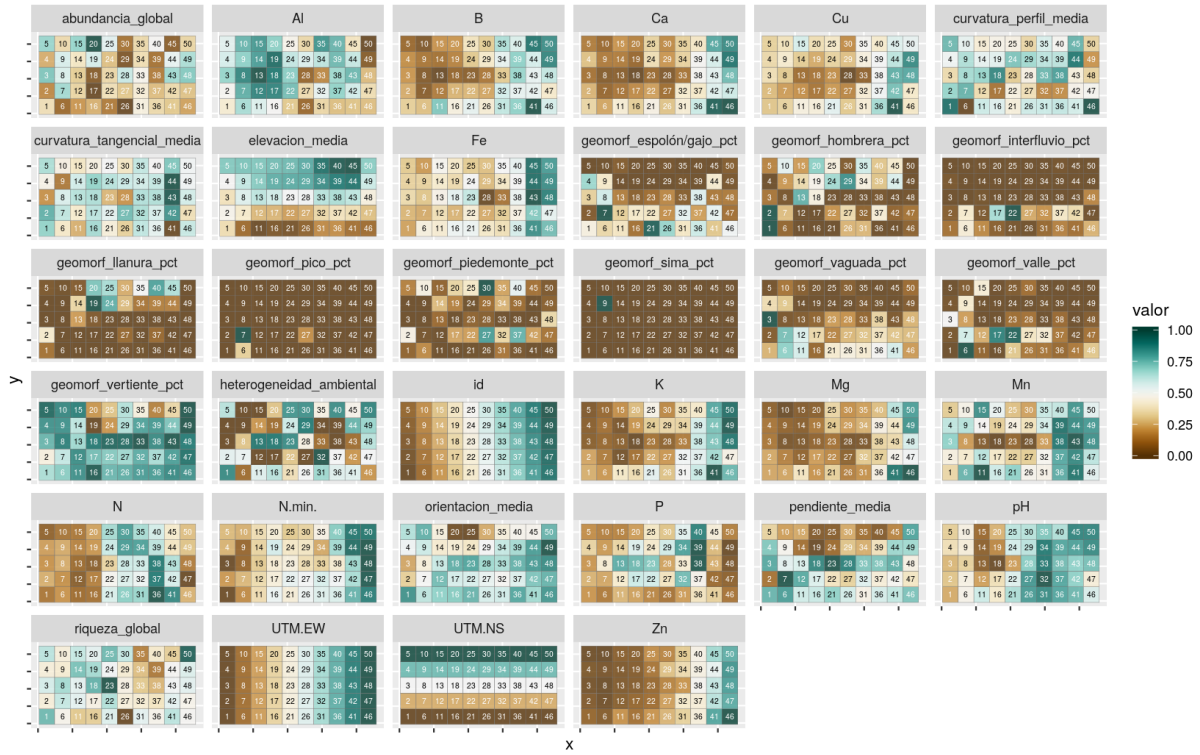


Figure 9: variables ambientales numericas

Cuadros de 1 Ha de BCI. Variables ambientales nominales

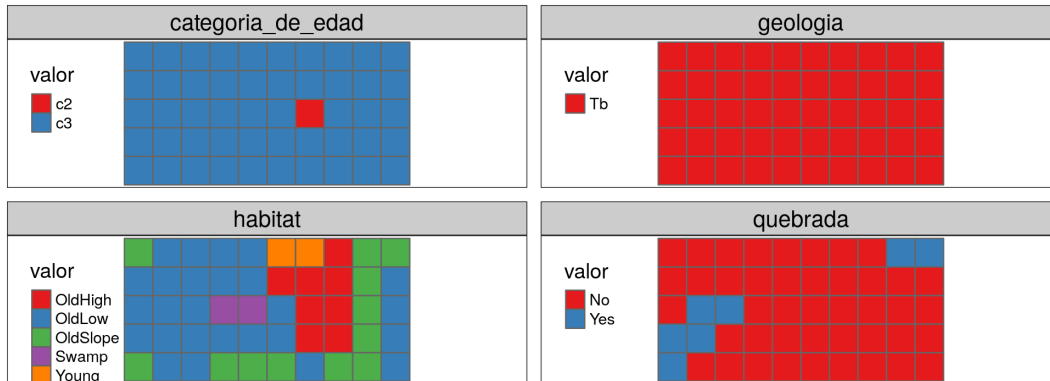


Figure 10: variables ambientales nominales

El índice de similitud de Jaccard muestra que el sitio 1 y 2 comparten un 100% de sus especies, por lo que ambos sitios comparten 3 especies y no tienen especies exclusivas (ver figura 11).

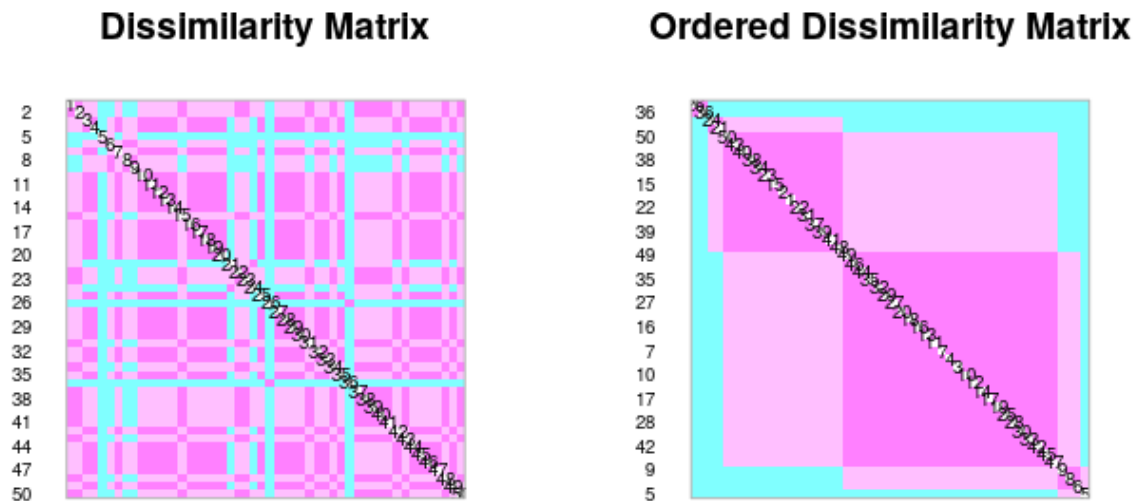


Figure 11: Similaridad de Jaccard(color fucsia (magenta, rosa) significa “corta distancia=muy similares”, y cian (celeste) significa “gran distancia=poco similares”)

La correlcion entre las variables geomorfologicas con la abundancia y riqueza...(ver figura 12).

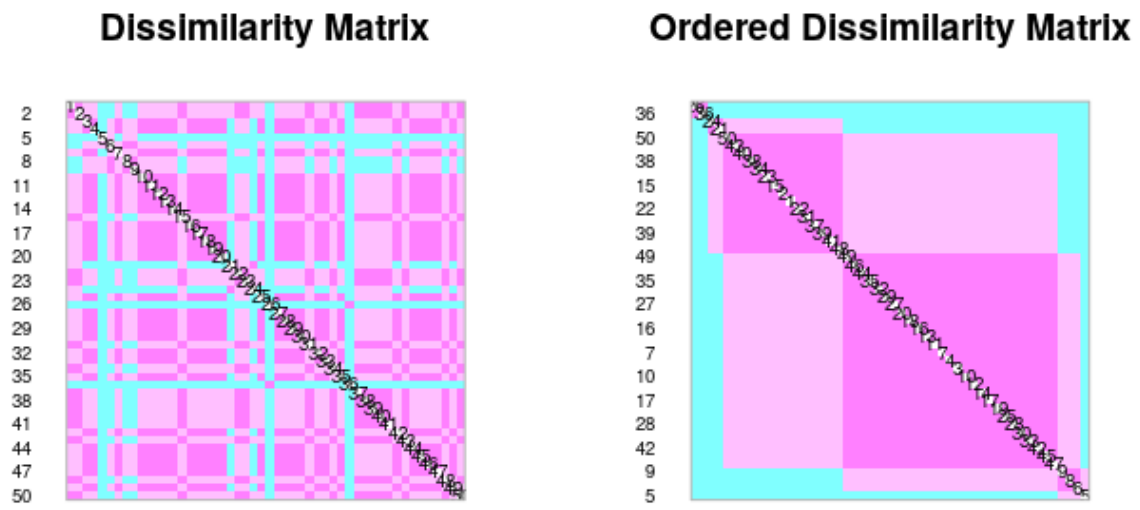


Figure 12: Panel de correlacion de Spearman entre los datos de la comunidad y las variables geomorfológicas

Las pruebas de correlación entre los grupos 1 y 2 formulados por upgma... (ver figura 13).

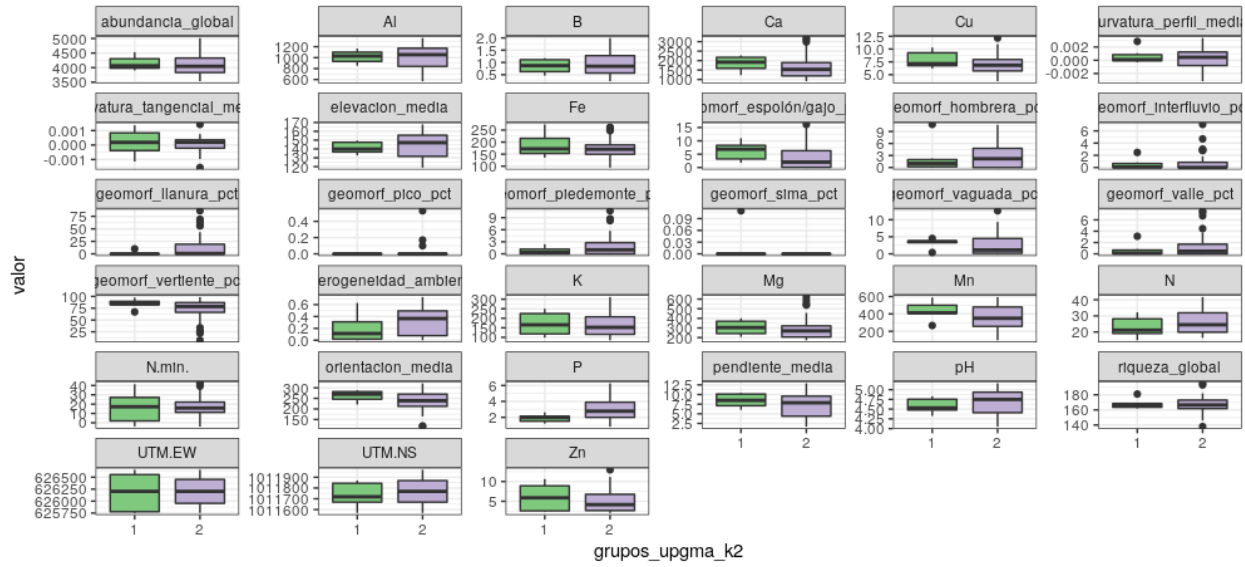


Figure 13: Diagramas de caja de las variables que tuvieron un efecto, según las pruebas de igualdad de medias

La repartición de sitios en los grupos formulados por enlace upgm... (ver figura 14).

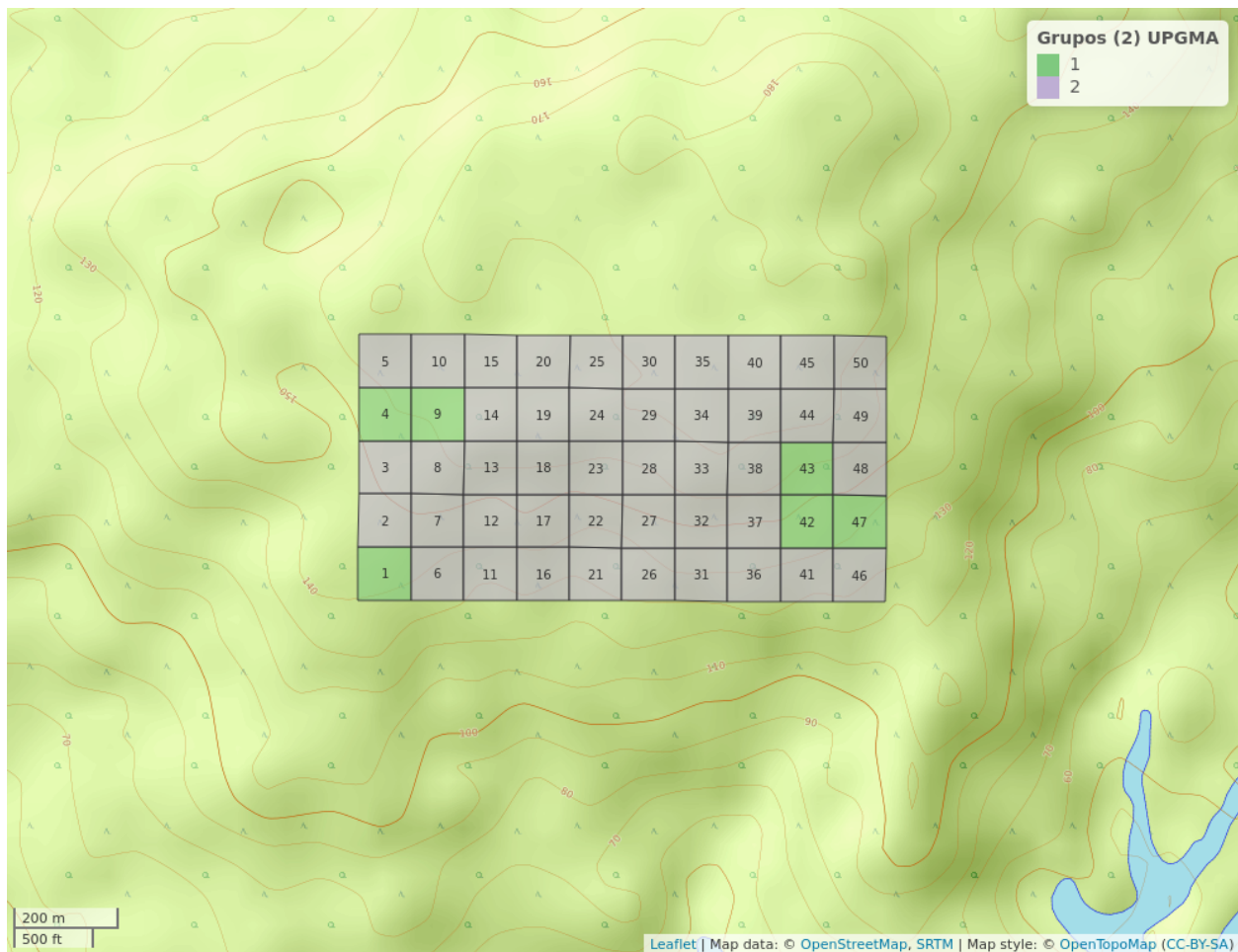


Figure 14: Mapa en el que se presenta la distribución de sitios en los grupos formulados por enlace upgma

Las especies indicadoras fueron... (verificar análisis de agrupamiento 4)

Análisis de especies indicadoras mediante IndVal Association function: IndVal.g Significance level (alpha): 0.05

Total number of species: 5 Selected number of species: 2 Number of species associated to 1 group: 2

List of species associated to each combination:

Group 1 #sps. 1 A B stat p.value

Chrysophyllum argenteum 0.6565 1.0000 0.81 0.005 **

Group 2 #sps. 1 A B stat p.value

Pouteria reticulata 0.6505 1.0000 0.807 0.001 ***

grado de correlacion que existe en cada uno de los índices... (ver figura 15).

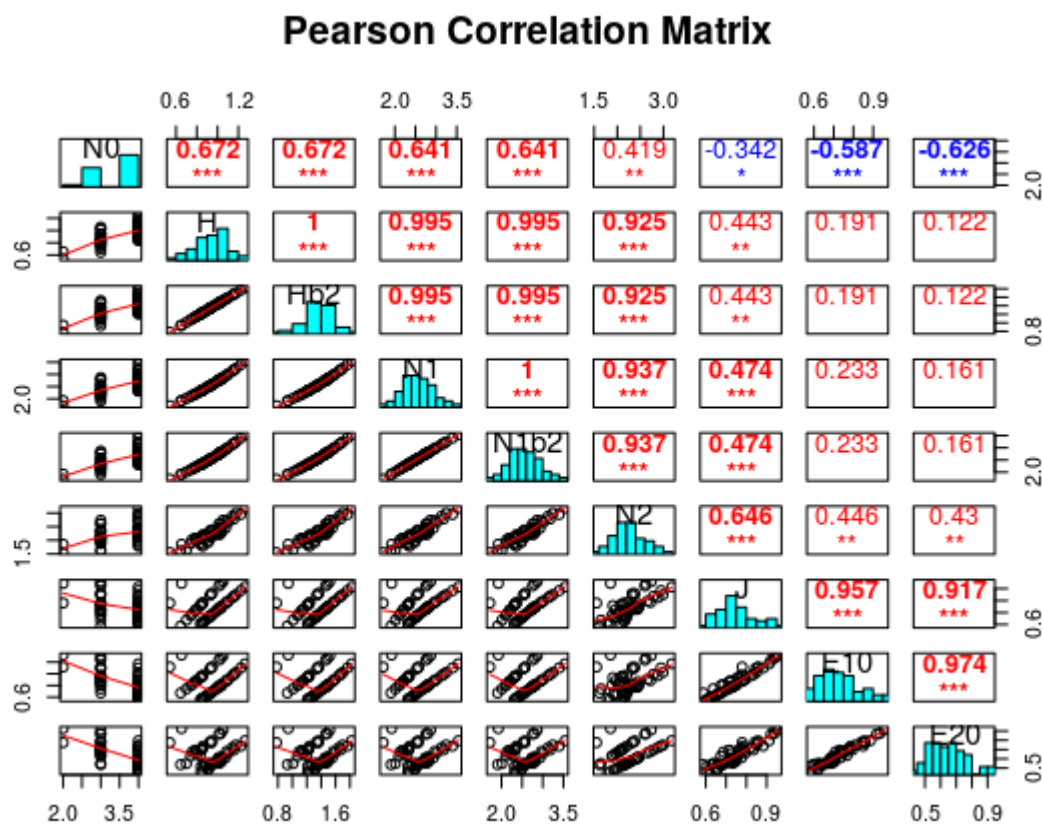


Figure 15: Grado de correlacion entre cada uno de los indices. N0: riqueza de especies; H: entropia de Shannon; Hb2: entropia de Shannon con 2 como base del logaritmo; N1 y N2: Numeros de Hill; N1b2: Numero de Hill 1 en base log 2; J: equidad de Pielou; E10 y E20: ratios de Hill 1 y 2

La riqueza de la familia Sapotaceae aumenta en función del contenido de hierro, nitrógeno y cobre, tambien aunmenta con la equidad (ver figura 16).

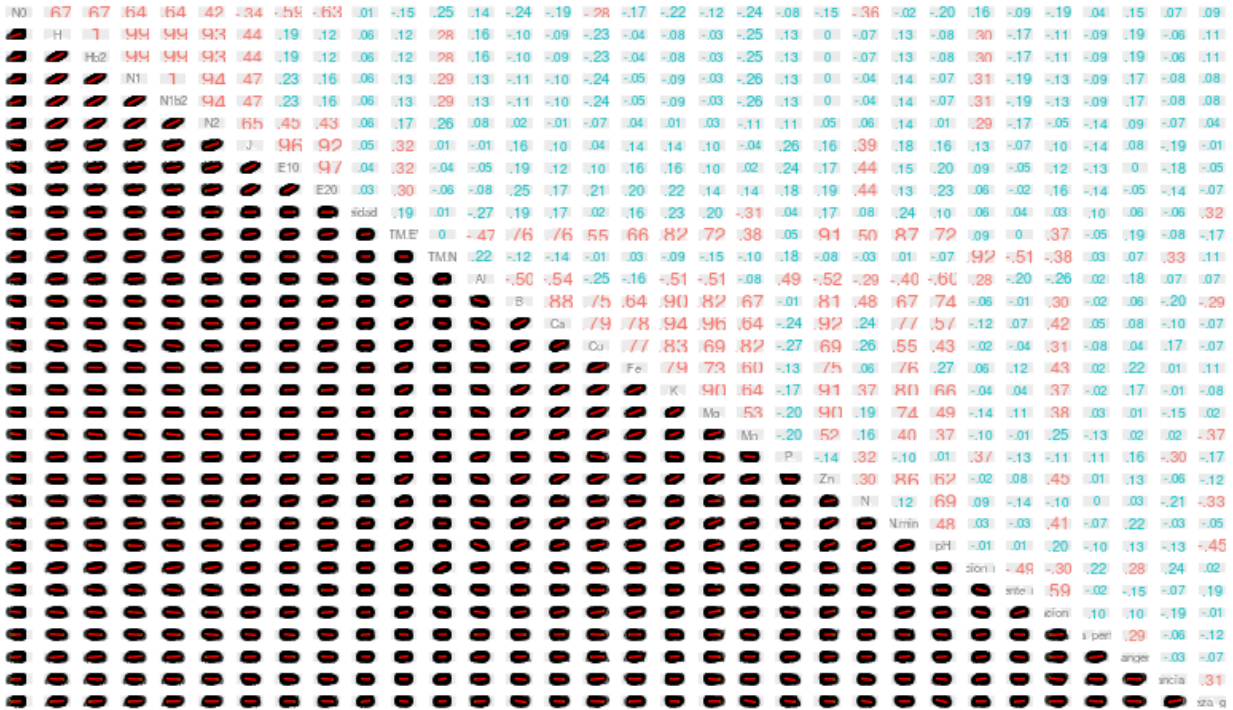


Figure 16: Correlacion entre diversidad/equidad y algunas de las variables ambientales

Sitios que tienen mayores valores de equidad (azul y verde)... (ver figura 17).

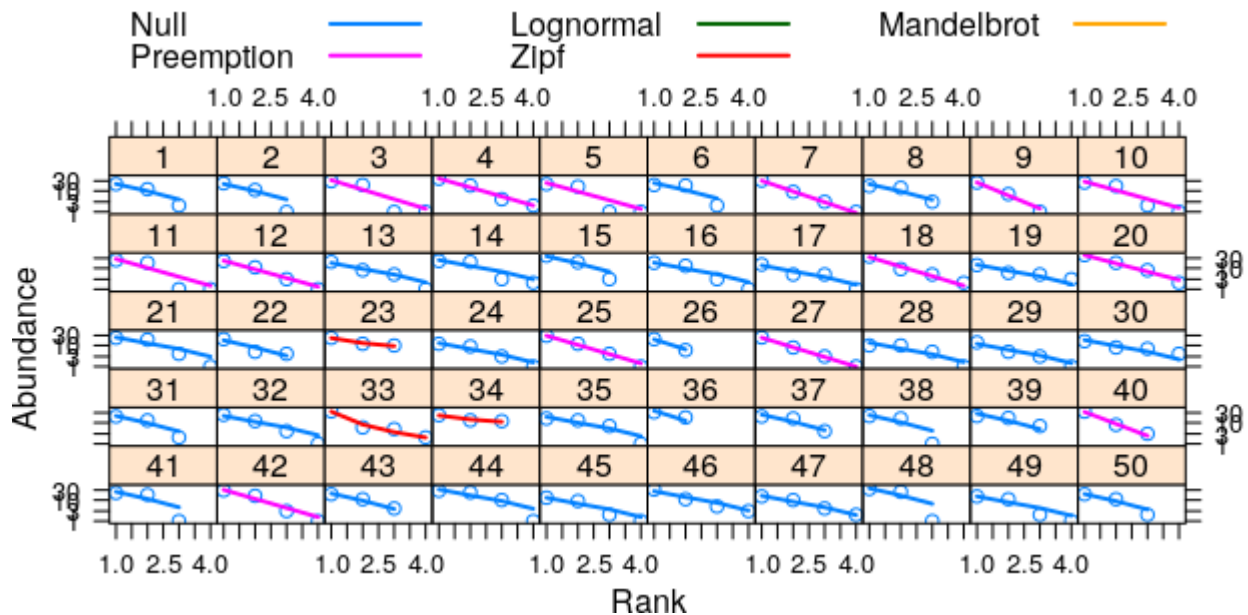


Figure 17: Grafico dque presenta los valores de equidad por sitios

Curva de rarefaccion de los sitios, teniendo en cuenta la riqueza y la abundancia... (ver figura

18). analizar Analisis de diversidad 1

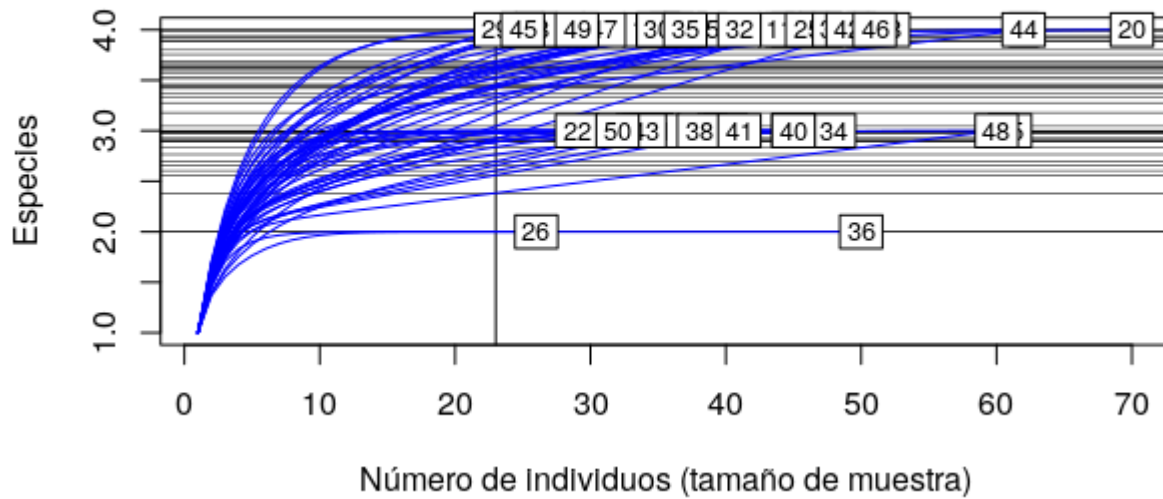


Figure 18: Curva de rarefaccion de los sitios

asymptotic diversity estimates along with related statistics. Observed Estimator Est_s.e. 95% Lower 95% Upper Species Richness 5.000 5.000 0.217 5.000 5.481 Shannon diversity 2.786 2.789 0.045 2.786 2.876 Simpson diversity 2.403 2.404 0.038 2.403 2.478

Acumulacion de especies en funcion de numeros de individuos... (ver figura 19).

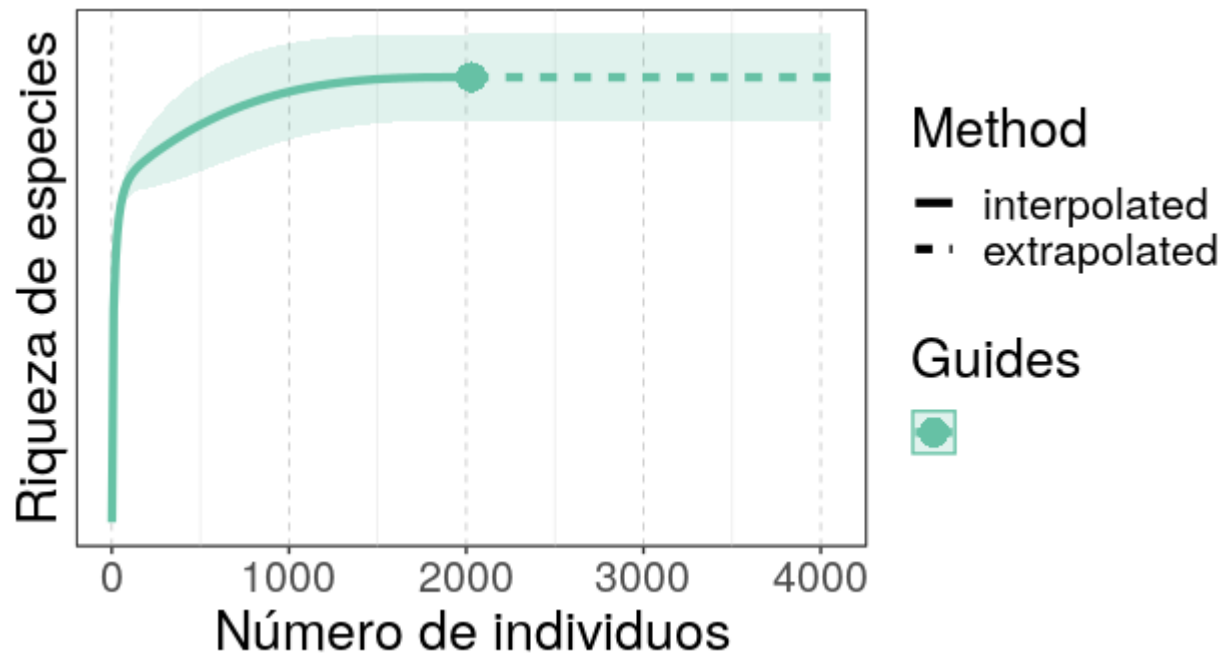


Figure 19: Grafico de acumulacion de especies en funcion de numeros de individuos

Valores de diversidad beta por cada una de las especies y cuales son su contribucion (comparar cuales son las especies que contribuyen mas a la diversidad beta) especies_contribuyen_betadiv
 Chrysophyllum argenteum Chrysophyllum cainito Pouteria stipitata 0.2504234 0.3147978 0.2658814
 \$sitios_contribuyen_betadiv [1] "9" "40"

Estos sitios presentan contribucion a la diversidad beta por la incidencia de algunas variables ambientales (habitat, y variables numericas...)(ver figura 9 y 10).

Componentes principales de la varianza en las variables de suelo y geomorfología en BCI. En estos gráficos se incluye el comportamiento de la varianza explicada, predecido por el modelo de barra quebrada, representado por la línea roja formando la curva. (La escala denominada "Inertia" representa la suma de los cuadrados de toda la varianza) (ver figura 20).

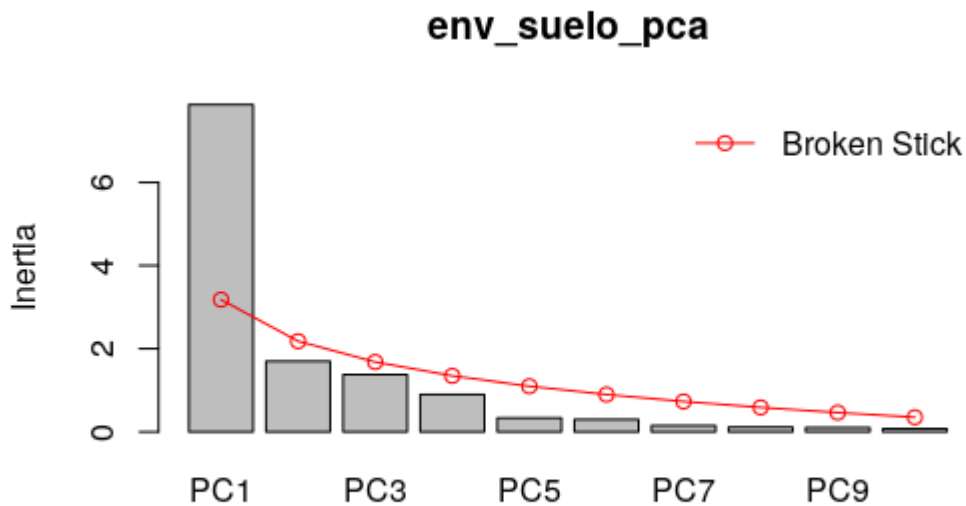


Figure 20: grafico de los componentes principales de la varianza en las variables suelo y geomorfologia en BCI

Se observa que las variables nitrógeno, fósforo y pH aportan la mayor parte de la varianza explicada. La relación entre las variables se encuentra debidamente representada en el recuadro del escalamiento 2, por medio de los ángulos que forman sus vectores (ver figura 21).

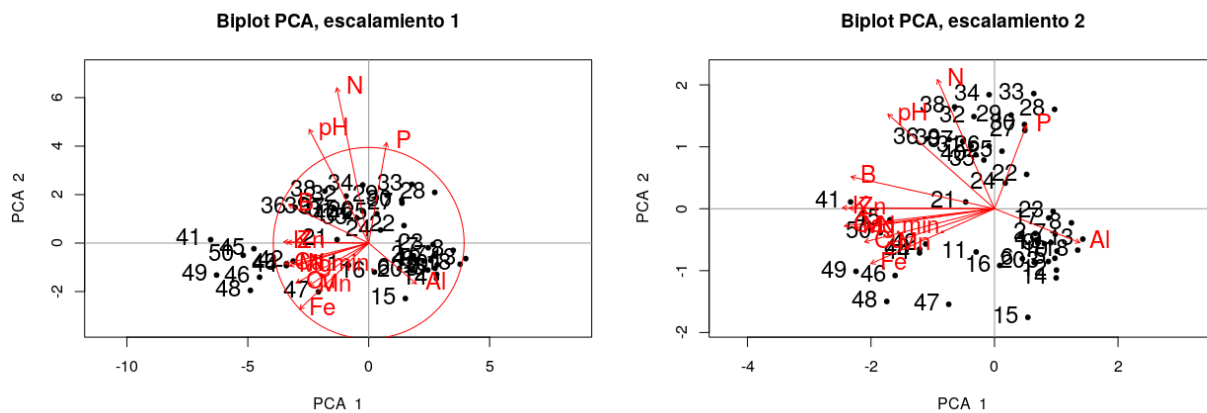


Figure 21: Biplots generados en el PCA de las viariables de suelo

El escalamiento 1, muestra muchos de los cuadrantes dispuestos alrededor del origen formado por los ejes, lo que indica una contribución a la varianza relativamente equitativa por parte de las especies. Sin embargo, aparecen también unos cuantos cuadrantes con valores atípicos y más alejados. Se nota como las especies (mencionar especies) presentan una contribución desproporcionada a la varianza total, en comparación con el resto de las especies (ver figura 22).

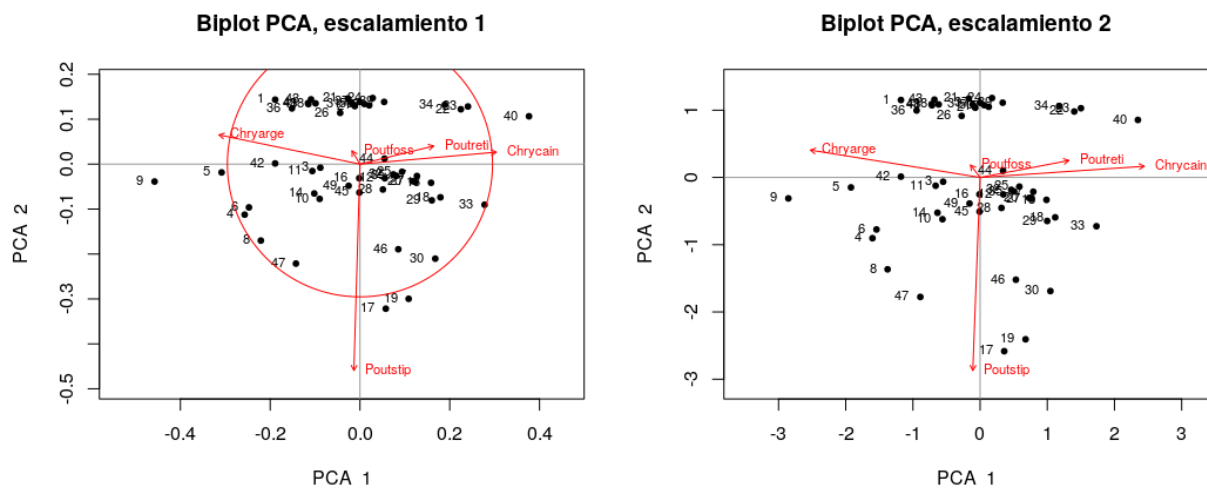


Figure 22: Biplots generados en el PCA de las variables de suelo

Biplot del análisis de correspondencia de los datos de abundancia de las especies de Sapotaceae (ver figura 23).

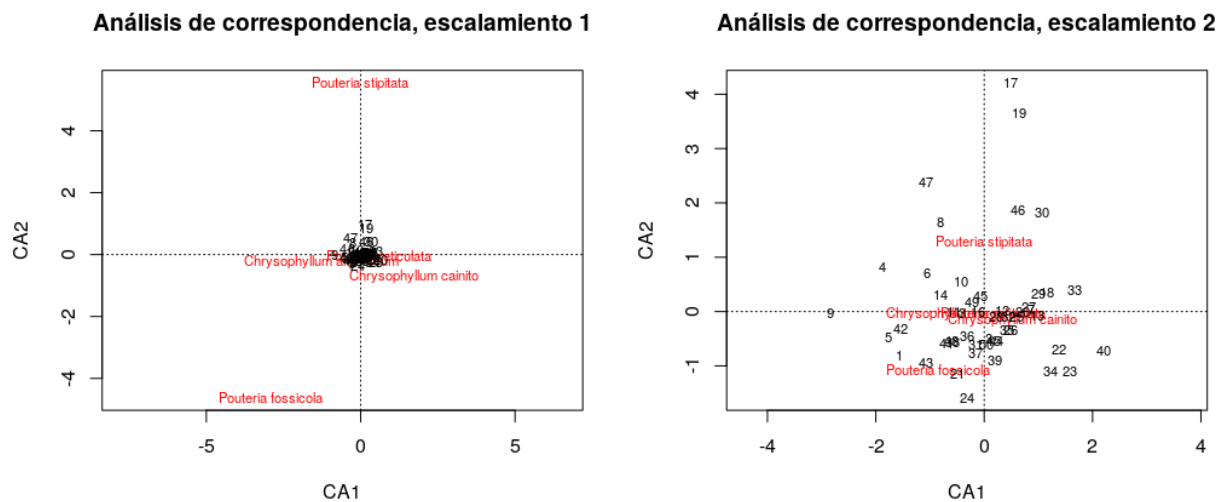


Figure 23: Biplot del analisis de correspondencia de los datos de abundancia de las especies de Sapotaceae

(ver figura 25).

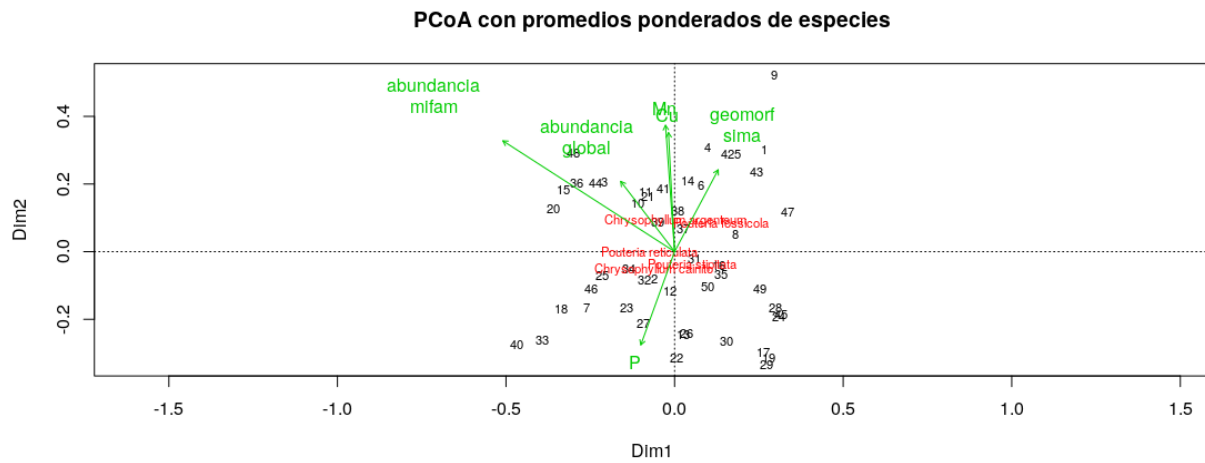


Figure 24: PCoA con promedios ponderados de especies

(ver figura 25).

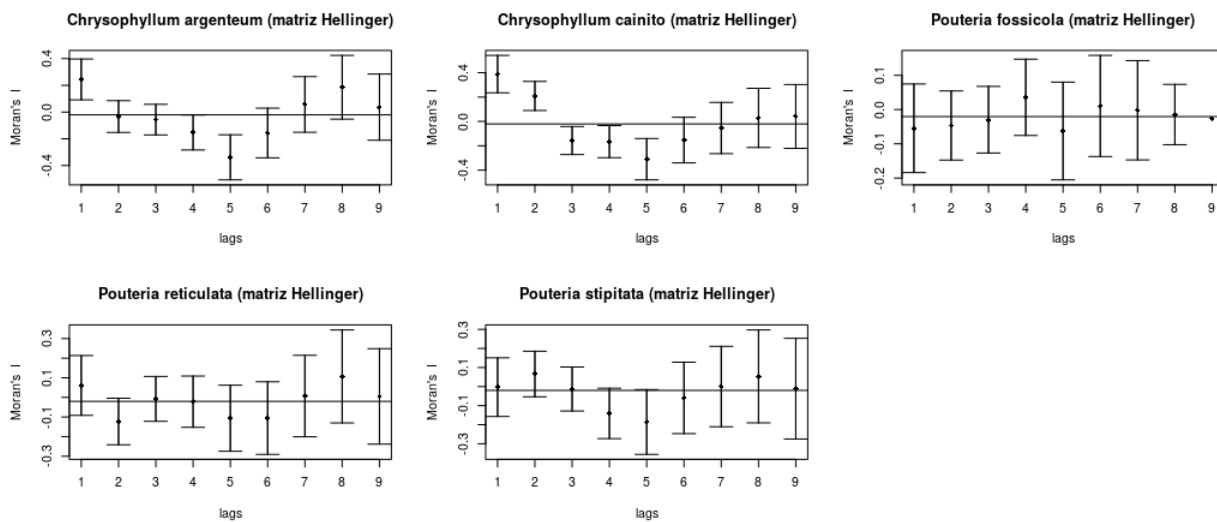


Figure 25: Abundancia de especies (matriz de comunidad transformada)

- 4 Discusión
- 5 Agradecimientos
- 6 Información de soporte
- ...

7 Script reproducible

...

Referencias

- Batlle, J. R. M. (2020). biogeografia-master/scripts-de-analisis-BCI: Long coding sessions (Version v0.0.0.9000). <https://doi.org/10.5281/zenodo.4402362>
- Brocard, D., Gillet, F., & Legendre, P. (2018). Numerical ecology with r (use r!). Springer-Verlag New York. Doi, 10, 52–66.
- Condit, R. A. y H., Richard y Chisholm. (n.d.). Treinta años de censo forestal en barro colorado y la importancia de la inmigración para mantener la diversidad. *PloS One*.
- Condit, R. y L., Richard y P 'e rez. (n.d.). Tendencias demográficas y clima durante 35 años en la parcela de 50 ha de barro colorado. *Forest Ecosystems*.
- De Caceres, M., & Legendre, P. (2009). Associations between species and groups of sites: Indices and statistical inference. In *Ecology*. Retrieved from [http://sites.google.com/site/miqueldecaceres/Flora de la isla barro colorado](http://sites.google.com/site/miqueldecaceres/Flora-de-la-isla-barro-colorado). (n.d.). Stanford University Press.
- Isla barro colorado y biología tropical. (n.d.). *Cuatro Bosques Neotropicales*.
- Kindt, R., & Coe, R. (2005). *Tree diversity analysis. a manual and software for common statistical methods for ecological and biodiversity studies*. Retrieved from <http://www.worldagroforestry.org/output/tree-diversity-analysis>
- Legendre, P., & Gallagher, E. D. (2001). Ecologically meaningful transformations for ordination of species data. *Oecologia*, 129(2), 271–280.
- Martínez-Sovero, G., Iglesias-Osores, S., & Villena-Velásquez, J. J. (2020). Importancia de la familia sapotaceae en madre de dios, Perú. *Manglar*, 17(4), 287.
- Martínez-Sovero, G., Iglesias-Osores, S., Muñoz-Chavarry, P., Seminario-Cunya, A., Alva-Mendoza, D., & Villena-Velásquez, J. (2021). Diversidad y estructura de sapotaceae en bosques amazónicos de madre de dios, Perú. *Ciencia Amazónica (Iquitos)*, 9(1), 59–72.
- Oksanen, J., Blanchet, F. G., Friendly, M., Kindt, R., Legendre, P., McGlinn, D., ... Wagner, H. (2019). *Vegan: Community ecology package*. Retrieved from <https://CRAN.R-project.org/package=vegan>
- Pérez, R., Aguilar, S., Condit, R., Foster, R., Hubbell, S., & Lao, S. (2005). Metodología empleada en los censos de la parcela de 50 hectareas de la isla de barro colorado, Panamá. *Centro de Ciencias Forestales Del Tropico (CTFS) Y Instituto Smithsonian de Investigaciones Tropicales (STRI)*, 1–24.
- R Core Team. (2020). *R: A language and environment for statistical computing*. Retrieved from <https://www.R-project.org/>
- Rodríguez-Flores, W., & Barrios, H. (2020). Scolytinae y platypodinae (coleoptera: Curculionidae) de la isla barro colorado, Panamá. *Scientia*, 30(1), 15–52.
- Smedmark, A. A., Jenny EE y Anderberg. (n.d.). La migración boreotropical explica la hibridación entre linajes geográficamente distantes en el clado pantropical sideroxyloae (sapotaceae). *American Journal of Botany*.
- Wickham, H. (2017). *Tidyverse: Easily install and load the 'tidyverse'*. Retrieved from <https://CRAN.R-project.org/package=tidyverse>
- Windsor, D., FOSTER, R., BROKAW, N., Leigh, E., Rand, A., & others. (n.d.). *Estructura e historia de la vegetación de la isla barro colorado ecología de un bosque tropical: Ciclos estacionales y cambios a largo plazo*.